



بررسی تغییرات محل کانون‌های غربال فوتونی تصحیح شده

آرش ثباتیان، هاله ابراهیمی

گروه فیزیک، دانشکده علوم، دانشگاه ارومیه، ارومیه

چکیده - در این مقاله، غربال فوتونی طراحی شده به چند ناحیه تقسیم شده که هر یک از این نواحی شامل حفره‌هایی با پهناهای متفاوت است. با تغییر در تعداد حفره‌ها در هر ناحیه، محل قرارگیری کانون تغییر می‌کند. با استفاده از این روش می‌توان عدسی با قابلیت کانونی کنندگی دوگانه را به دست آورد. همچنین با به کارگیری این روش شعاع عدسی و در نتیجه قدرت تفکیک آن افزایش می‌یابد. نتایج تجربی موید مطالعات شبیه سازی است.

کلید واژه- تیغه‌ی منطقه‌ای فرنل، حفره، غربال فوتونی، قدرت تفکیک، کانونی کنندگی دوگانه

Studying of foci locations of modified photon sieve

Arash Sabatyan , Haleh Ebrahimi

Department of physics, Faculty of science, Urmia university ,Urmia

Abstract- In this paper, the photon sieve designed is divided into regions, each of which includes holes with different widths. We demonstrate that the foci locations change by the varying the number of the holes in each area. This method can be achieved to a lens with double focusing properties. By applying this method also, the radius of the lens and resolution are increased. Simulation results are verified by experiments.

Keywords: double focusing properties, Fresnel zone plate, pinhole, photon sieve, resolution

۱- مقدمه

m_n مقدار صحیح مثبت است. کل المان عدسی را به N تا ناحیه تقسیم کرده و پهنای هر ناحیه را برابر D_n قرار می‌دهیم. می‌توان نوشت:

$$\frac{2f}{f_n} \exp[jk(f_n - f)] \sin\left(\frac{kd_n}{2f_n}\right) = \alpha D_n \exp\left(-\frac{s_n}{\sigma^2}\right) \quad (3)$$

با محاسبات انجام شده و تقریب $\alpha = 2\beta f \exp(s_1 / \sigma^2) / (f_1 D_1)$ می‌توان نیم‌پهنای هر نوار روشن را به صورت زیر به دست آورد [۲]:

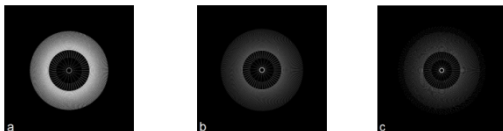
$$d_n = \frac{2f_n}{k} \left\{ L\pi - a \sin \left[\beta \frac{D_n f_n}{D_1 f_1} \exp\left(-\frac{s_n - s_1}{\sigma^2}\right) \right] \right\} \quad (4)$$

که L یک مقدار حقیقی مثبت است که برای L های فرد نقاط میانی هر نوار روشن برابر $s_n = (m_n \lambda)^2 + (2m_n \lambda f)$ و برای L های زوج نقاط میانی هر نوار روشن برابر $s_n = ((m_n + 0.5)\lambda)^2 + (2(m_n + 0.5)\lambda f)$ پراشیده شده از لبه‌ها متوقف شود مقدار σ را تقریباً برابر نصف شعاع عدسی مورد نظر قرار می‌دهیم. پارامتر β باید مقدار بین صفر و یک را به خود بگیرد. با در دست داشتن نیم‌پهنای و نقاط میانی نوارهای روشن، قطر حفره‌ها که برابر با پهنای نوارهای روشن است به دست می‌آید. با داشتن قطر روزنه‌ها غربال فوتونی طراحی می‌شود [۳].

۲-۲- شبیه سازی

کار شبیه سازی با برنامه‌ی MATLAB انجام شده است. برای طراحی ابتدا کل المان عدسی را به سه منطقه تقسیم کرده و پهنای نواحی مناطق اول، دوم و سوم به ترتیب برابر $4W_n$ ، $6W_n$ و $10W_n$ در نظر گرفته می‌شود. W_n پهنای نوارهای تیغه‌ی منطقه‌ای فرنل است.

با در نظر گرفتن فاصله‌ی کانونی ۲۰۰ میلی‌متر و طول موج ۶۳۲٫۸ نانومتر برای سه شعاع ۸٫۵، ۷٫۵ و ۱۰٫۵ میلی‌متر غربال فوتونی شبیه سازی شده است. کمترین قطر حفره‌ها به علت محدودیت در ساخت ۴۰ میکرومتر در نظر گرفته شده است. باید توجه کرد که رنج نوارها در هر ناحیه را می‌توان تغییر داد به شرطی که پهنای آخرین نوار از ۴۰ میکرومتر کمتر نشود. در ابتدا تعداد نوارهای ناحیه‌ی سوم را بیشترین تعداد در نظر می‌گیریم که این ناحیه شامل تعداد قابل توجهی حفره است.

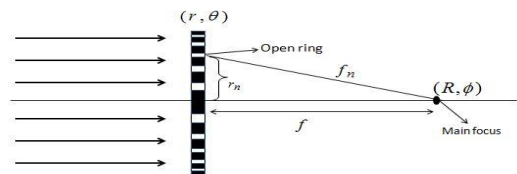


غربال فوتونی یک تیغه‌ی منطقه‌ای فرنل است که در آن توزیع مناسبی از حفره‌ها جایگزین مناطق روشن می‌شود. اساس کار غربال فوتونی نیز بر اساس تئوری پراش است. غربال فوتونی مزیت‌هایی نسبت به تیغه‌ی منطقه‌ای فرنل دارد. یکی از این مزایا کاهش پهنای پرتو در نقطه کانون است. تاکنون مدل‌های بسیاری از این نوع لنز طراحی شده است. ما در این مقاله یک نوع غربال فوتونی طراحی می‌کنیم که علاوه بر افزایش شعاع که افزایش قدرت تفکیک لنز را به دنبال دارد، عدسی با دو کانون هم شدت داشته باشیم. همچنین با تغییر تعداد حفره‌ها محل فرارگیری کانون می‌کند [۱].

۲- طراحی و ساخت لنز

۲-۱- تئوری مقاله

یک تیغه منطقه‌ای فرنل با N نوار روشن را مطابق شکل زیر در نظر می‌گیریم:



شکل ۱: طراحی شماتیک از تیغه‌ی منطقه‌ای فرنل [۲].

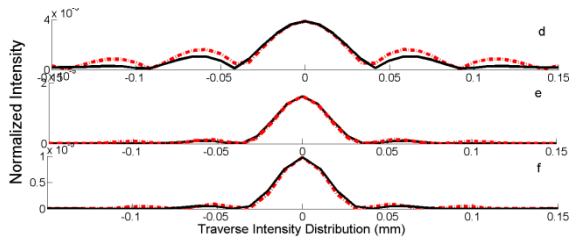
میدان پراش یافته از هر نوار روشن در نقطه کانون با حل انتگرال ریلی زامرفیلد و با استفاده از تقریب بسل به صورت زیر به دست می‌آید [۲]:

$$U_n(R) = \frac{2f}{f_n} \exp\left[k\left(f_n + \frac{R^2}{2f_n}\right)\right] J_0\left(\frac{kr_n}{f_n} R\right) \sin\left(\frac{kd_n}{2f_n}\right) \quad (1)$$

که در آن $k = \frac{2\pi}{\lambda}$ ، d_n نیم‌پهنای هر نوار روشن در مختصات s است. آرگومان مقدار حقیقی \sin یا 0 یا π است. در نتیجه برای داشتن مقدار مثبت میدان برای f_n موقعیت‌های زیر خواهد بود:

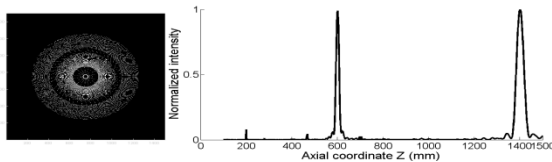
$$f_n = f + m_n \lambda \quad \sin\left(\frac{kd_n}{2f_n}\right) > 0 \quad (2)$$

$$f_n = f + \left(m_n + \frac{1}{2}\right) \lambda \quad \sin\left(\frac{kd_n}{2f_n}\right) < 0$$

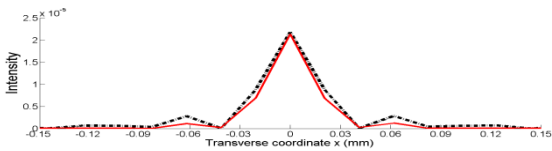


شکل ۷: توزیع شدت در نقاط کانون هر سه عدسی: d شعاع ۷,۵ mm e شعاع ۷,۵ mm f شعاع ۸,۵ mm شعاع ۱۰,۵ میلیمتر. نمودار قرمز توزیع شدت در کانون ۶۰۰ میلیمتر و نمودار مشکی مربوط به توزیع شدت در کانون ۱۰۰۰ میلیمتر است.

برای عدسی با شعاع ۱۰,۵ میلیمتر به علت افزایش تعداد نوارها و محدود بودن پهنای نوارها، وارد ناحیه چهارم می‌شویم و پهنای آن را برابر $14W_n$ قرار می‌دهیم. حال تعداد نوارها و تعداد حفره‌های نواحی دوم و چهارم را افزایش داده و نتایج را بررسی کردیم.



شکل ۸: غربال فوتونی با شعاع ۱۰,۵ میلیمتر و توزیع شدت در راستای محور Z

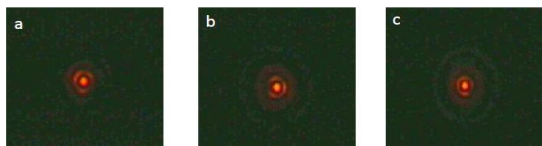


شکل ۹: توزیع شدت در نقاط کانون عدسی: نمودار قرمز توزیع شدت در فاصله ۱۴۰۰ میلیمتر و نمودار خط چین مربوط به توزیع شدت در فاصله ۶۰۰ میلیمتر

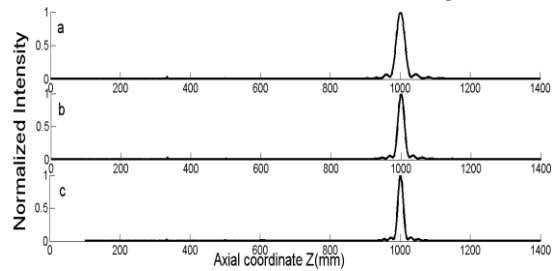
در نتیجه تغییر در رنج نوارها و تعداد حفره‌ها محل کانون از ۱۰۰۰ میلیمتر به ۱۴۰۰ میلیمتر تغییر پیدا کرد و دارای شدت یکسان با کانون در ۶۰۰ میلیمتر است.

۳-۲- بررسی نتایج آزمایشگاهی

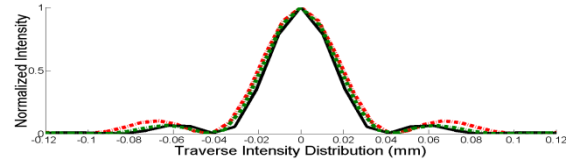
در آزمایشگاه این نمونه‌های طراحی شده در برابر نور لیزر هلیوم-نئون با طول موج ۶۳۲,۸ نانومتر قرار داده شده و تصاویر نقاط کانون با دوربین ثبت شده است.



شکل ۲: غربال فوتونی با رنج اول نوارها a شعاع ۷,۵ mm b شعاع ۸,۵ mm c شعاع ۱۰,۵ میلیمتر

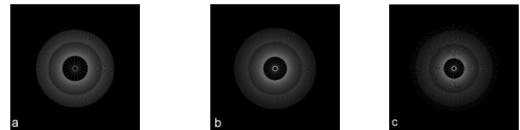


شکل ۳: توزیع شدت در راستای محور Z برای عدسی‌ها با رنج اول نوارها: a شعاع ۷,۵ mm b شعاع ۸,۵ mm c شعاع ۱۰,۵ میلیمتر

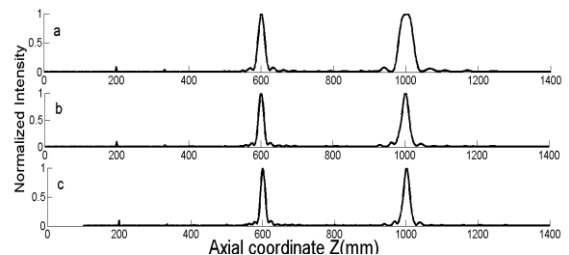


شکل ۴: توزیع شدت در نقاط کانون هر سه عدسی: نمودار مشکی مربوط به عدسی با شعاع ۱۰,۵ میلیمتر و نمودارهای قرمز و سبز به ترتیب برای عدسی‌های ۷,۵ و ۸,۵ میلیمتر

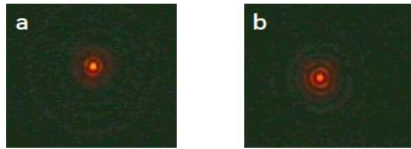
پهنای پرتو در نقاط کانونی در فاصله‌ی ۱۰۰۰ میلیمتری برای هر سه عدسی با شعاع‌های ۷,۵، ۸,۵ و ۱۰,۵ میلیمتر به ترتیب برابر ۲۱,۸۴، ۲۲,۵۵ و ۱۹,۷۶ میکرومتر به دست می‌آید. حال رنج نوارها را تغییر داده و تعداد نوارهای دوم و سوم را تقریباً یکسان در نظر گرفته و تعداد مشخصی حفره بر روی این نوارها توزیع می‌شود.



شکل ۵: غربال فوتونی با رنج دوم نوارها a شعاع ۷,۵ mm b شعاع ۸,۵ mm c شعاع ۱۰,۵ میلیمتر

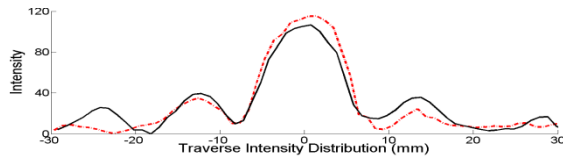


شکل ۶: توزیع شدت در راستای محور Z برای عدسی‌ها با رنج دوم نوارها: a شعاع ۷,۵ mm b شعاع ۸,۵ mm c شعاع ۱۰,۵ میلیمتر



شکل

۱۶: نقاط کانون عدسی شعاع ۱۰,۵ میلیمتر: a نقطه‌ی کانون در ۶۰۰ میلیمتر، b نقطه‌ی کانون در ۱۰۰۰ میلیمتر



شکل ۱۷: توزیع شدت در نقاط کانون عدسی: نمودار قرمز توزیع شدت در فاصله‌ی ۶۰۰ میلیمتر و نمودار مشکی مربوط به توزیع شدت در فاصله ۱۰۰۰ میلیمتر

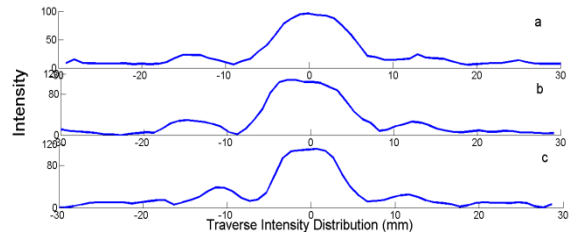
۳- نتیجه‌گیری

در این طراحی می‌توان شعاع عدسی را با ثابت نگه داشتن پهنای آخرین نوار در هر ناحیه افزایش داد که با افزایش شعاع کاهش پهنای کانون را داریم که برای رنج اول نوارها، در شبیه‌سازی به اندازه ۱۲,۴ درصد و در تجربی به اندازه ۱۵,۶ درصد کاهش پهنای کانون به دست آمد. با تغییر تعداد نوارها و حفره‌ها در هر ناحیه محل کانون تغییر می‌یابد. در رنج دوم نوارها می‌توان دو کانون با شدت‌های یکسان برای عدسی‌ها به دست آورد. برای عدسی با شعاع ۱۰,۵ میلیمتر که دارای ۴ ناحیه است می‌توان با تغییر رنج نوارها، دو بار دو کانون هم شدت به دست آورد. نتایج تجربی و شبیه‌سازی با هم مطابقت دارند.

مراجع

- [1] L. Kipp, M. Skibowski, R. L. Johnson, R. Brendt, R. Adlung, S. Harm and Seemann, "Sharper images by focusing soft X-rays with photon sieves," *Nature* **414** (6860), 184-188, (2001)
- [2] Q. Cao and J. Jahns, "Modified Fresnel zone plates that produce sharp Gaussian focal spots," *J. Opt. Soc. Am. A* Vol. **20**, No. 8/August, 1576-1581 (2003).
- [3] sabatyan. A, Roshaninejad. P, "super-resolving random-Gaussian apodized photon sieve," *Appl. Opt.* **51**, 6315 - 6318(2012).

شکل ۱۰: نقطه‌ی کانون برای عدسی‌های با رنج اول نوارها a شعاع ۷,۵ mm شعاع b, ۸,۵ mm c, شعاع ۱۰,۵ میلیمتر

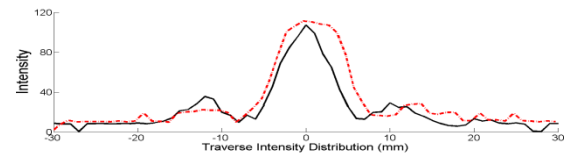


شکل ۱۱: توزیع شدت در نقاط کانون هر سه عدسی: a شعاع ۷,۵ mm b, شعاع ۸,۵ mm c, شعاع ۱۰,۵ میلیمتر.

در نتایج تجربی پهنای پرتو در نقاط کانونی در فاصله‌ی ۱۰۰۰ میلیمتری برای هر سه عدسی با شعاع‌های ۷,۵، ۸,۵ و ۱۰,۵ میلیمتر به ترتیب برابر ۲۷,۷۲، ۲۵,۹۷ و ۲۳,۴۰ میکرومتر به دست می‌آید.



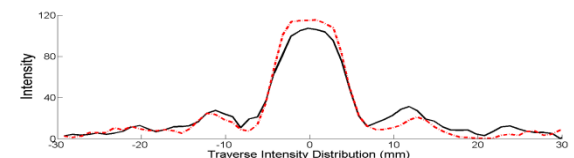
شکل ۱۲: نقاط کانون عدسی شعاع ۷,۵ میلیمتر: a نقطه‌ی کانون در ۶۰۰ میلیمتر، b نقطه‌ی کانون در ۱۰۰۰ میلیمتر



شکل ۱۳: توزیع شدت در نقاط کانون عدسی: نمودار قرمز توزیع شدت در فاصله‌ی ۶۰۰ میلیمتر و نمودار مشکی مربوط به توزیع شدت در فاصله ۱۰۰۰ میلیمتر



شکل ۱۴: نقاط کانون عدسی شعاع ۸,۵ میلیمتر: a نقطه‌ی کانون در ۶۰۰ میلیمتر، b نقطه‌ی کانون در ۱۰۰۰ میلیمتر



شکل ۱۵: توزیع شدت در نقاط کانون عدسی: نمودار قرمز توزیع شدت در فاصله‌ی ۶۰۰ میلیمتر و نمودار مشکی مربوط به توزیع شدت در فاصله ۱۰۰۰ میلیمتر